# 垂直分布表

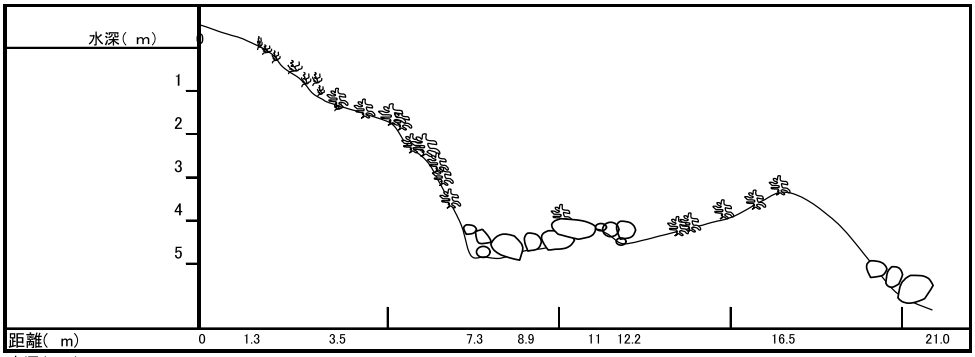


| 距離（ m） | 0 | 1.3 | 3.5 | 7.3 | 8.9 | 11 | 12.2 | 16.5 | 21.0 |
|---|---|---|---|---|---|---|---|---|---|
| 水深（ DL） | +0.5 | +0.2 | 1.3 | 4.9 | 4.8 | 4.3 | 4.6 | 3.4 | 6.2 |
| 岩盤の割合(% ) | | | 100 | | | 30 | 100 | | |
| 岩塊の割合(% ) | | | | | 100 | | | 80 | |
| 巨礫の割合(% ) | | | | 60 | | 40 | | 15 | |
| 大礫の割合(% ) | | | | 30 | | 25 | | 5 | |
| 小礫の割合(% ) | | | | 10 | | 5 | | + | |
| 砂の割合（ %） | | | | | | | | | |
| 泥の割合（ %） | | | | | | | | | |
| ヒジキ | 80 | | | | | | | | |
| ピリヒバ | 30 | 5 | 30 | | 10 | + | 5 | + | |
| カイノリ | 25 | | | | | | | + | |
| ヒラネジモク | | 80 | | | | | + | | |
| クロメ | | 40 | 70 | | 20 | | 50 | 5 | |
| ヘリトリカニノテ | | 10 | 5 | | + | | 20 | 5 | |
| 無節サンゴモ | | 40 | 60 | 30 | 25 | 40 | 30 | 30 | |
| イソモク | | 10 | 20 | | | | 5 | + | |
| ジョロモク | | | + | | + | | | | |
| ノコギリモク | | | + | + | 30 | | 30 | 40 | |
| カニノテ | | | + | | 5 | | 10 | 5 | |
| ヨレモクモドキ | | | + | + | 20 | 10 | + | + | |
| ヒメカニノテ | | | + | | + | 10 | + | + | |
| イワノカワsp . | | | 5 | 20 | 25 | 40 | 20 | 40 | |
| チャシオグサ | | | + | | | | + | + | |
| ウスカワカニノテ | | | 20 | + | 30 | 5 | 20 | + | |
| ヒメモサズキ | | | + | | + | + | + | + | |
| フクロノリ | | | + | + | 5 | | + | + | |
| クサノカキ | | | + | | | | + | | |
| エンドウモク | | | + | | | | 5 | | |
| フタエオオギ | | | + | | | | + | | |
| ヤナギモク | | | | + | | | | | |
| ヤツマタモク | | | | + | + | | | | |
| カゴメノリ | | | | | + | | | | |
| フクリンアミジ | | | | | + | | + | | |
| ホンダワラ | | | | | + | 10 | | + | |
| キントキ | | | | | + | | + | + | |
| モサズキs p. | | | | | 5 | | 5 | 5 | |
| マガリカニノテ | | | | | + | | 5 | + | |
| ナミイワタケ | | | | | + | | + | + | |
| ネザシノト サカモドキ | | | | | | | + | | |
| ホソバノト サカモドキ | | | | | | | + | | |
| ホソバナミノハナ | | | | | | | + | | |
| マクサ | | | | | | | + | | |
| ユカリ | | | | | | | + | | |
| シワヤハズ | | | | | | | + | | |
| オバクサ | | | | | | | + | | |
| トサカマツ | | | | | | | + | | |
| コザネモ | | | | | | | + | | |
| アミジグサsp . | | | | | | | + | | |
| アナアオサ | | | | | | | + | | |
| クモノスヒメゴケ | | | | | | | + | | |
| ヒメヒシブクロ | | | | | | | + | | |
| マメタワラ | | | | | | | + | + | |
| ウミウチワ | | | | | | | + | + | |
| アカモク | | | | | | | + | + | |